

2.9. Exemplos de soluções das equações de Laplace e de Poisson

Em situações simples, em que o eixo de simetria do problema é dividido, a integração das equações de Laplace ou Poisson é fácil, como se mostra com os seguintes exemplos.

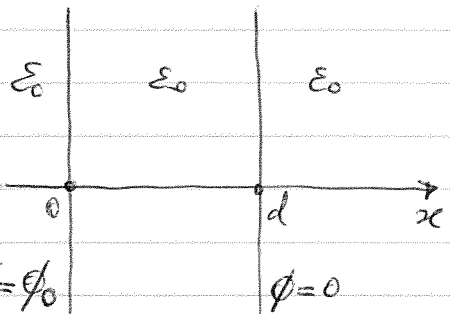
— Condensador plano infinito

Considera-se um condensador plano infinito, com armaduras espacadas de d , sujeitas a uma diferença de potencial ϕ_0 , como se ilustra na figura, onde se representa um referencial apropriado.

Por simetria, tem-se $\phi = \phi(x)$,

dónde a equação de Laplace enver-

-se $\frac{d^2\phi}{dx^2} = 0$, sendo a respectiva solução



$$\phi(x) = C_1 x + C_2 \quad (C_{1,2}: \text{constantes})$$

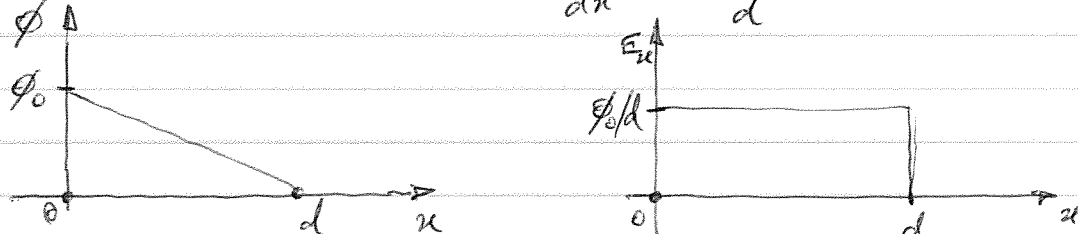
As constantes são determinadas pelas condições fronteira (neste caso no potencial): $\begin{cases} \phi(0) = C_2 = \phi_0 \\ \phi(d) = C_1 d + C_2 = 0 \end{cases}$

Resulta, então:

$$\phi(x) = \frac{\phi_0}{d} (d - x), \quad 0 < x < d$$

O campo elétrico vale, portanto:

$$\vec{E} = E_x(x) = -\frac{d\phi}{dx} \hat{x} = \frac{\phi_0}{d} \hat{x}$$



Sendo fixadas condições fronteira na densidade de carga:

$$\begin{cases} J_s(0) = +\sigma_0 \\ J_s(d) = -\sigma_0 \end{cases}$$

como $\phi(x) = C_1 x + C_2$, resulta que $E_x(x) = -C_1$, e

veem:

$$\begin{cases} \vec{E}(0) = E_x(0) \hat{x} = (+\sigma_0/\epsilon_0)(+\hat{x}) = -C_1 \hat{x} \\ \vec{E}(d) = E_x(d) \hat{x} = (-\sigma_0/\epsilon_0)(-\hat{x}) = -C_1 \hat{x} \end{cases}$$

Dónde:

$$\phi(x) = -\frac{\sigma_0}{\epsilon_0} x + C_2$$

Se se fixar o potencial de uma das armaduras (por

exemplo, $\phi(d) = 0$ como anima representado), vem:

$$\phi(d) = -\frac{\sigma_0}{\epsilon_0} d + C_2 = 0$$

onde:

$$C_2 = (\sigma_0/\epsilon_0) d$$

e logo

$$\phi(x) = \frac{\sigma_0}{\epsilon_0} (d-x)$$

Identificando as duas soluções $\phi(x)$ obtidas, verificar-se que temos

$$\sigma_0/\epsilon_0 = \phi/d$$

- Condensador plano infinito com distribuição de carga interior

Seja um condensador plano infinito com armaduras normais ao eixo x, situadas em $x=0, d$, e com o volume interior preenchido por uma distribuição de carga de densidade volumétrica σ_V .

No espaço entre as armaduras deve verificar-se a equação de Poisson, que se escreve (atendendo à simetria do problema):

$$\frac{d^2\phi}{dx^2} = -\frac{\sigma_V}{\epsilon_0}$$

Doutr a solução na forma: $\phi(x) = -\frac{\sigma_V}{2\epsilon_0} x^2 + C_1 x + C_2$ ($C_{1,2}$: constantes)

Fixando condições fronteira nos potenciais: $\begin{cases} \phi(0) = \phi_0 \\ \phi(d) = 0 \end{cases}$

resultam os valores das constantes: $\begin{cases} C_1 = \frac{\sigma_V}{2\epsilon_0} d - \frac{\phi_0}{d} \\ C_2 = \phi_0 \end{cases}$

$$\text{doutr } \phi(x) = \frac{\phi_0}{d} (d-x) + \frac{\sigma_V}{2\epsilon_0} (dx - x^2)$$

O campo elétrico correspondente é $\vec{E} = E_x \hat{x} = -\frac{d\phi}{dx} \hat{x}$:

$$E_x(x) = \frac{\phi_0}{d} - \frac{\sigma_V}{2\epsilon_0} (d-2x)$$

No exterior do condensador ($x < 0$ e $x > d$) aplicam-se

equações de Laplace ($\sigma_V = 0$): $\frac{d^2\phi}{dx^2} = 0$

Doutr:

$$\begin{cases} \phi(x) = C_3 x + C_4 & (x > d) \\ \phi(x) = C_5 x + C_6 & (x \leq 0) \end{cases} \quad (C_3, \dots, C_6 \text{ : constantes})$$

Pela continuidade de $\phi(x)$ em $x=0, d$: $\begin{cases} C_4 = \phi_0 \\ C_5 d + C_6 = 0 \end{cases}$

O campo elétrico nessas regiões será: $\begin{cases} E_x(x) = -C_3 & (x > d) \\ E_x(x) = -C_5 & (x \leq 0) \end{cases}$

Se se fixar campo nulo no exterior das armaduras, $C_3 = C_5 = 0$. Então, existirão densidades superficiais de carga nas armaduras, de acordo com as descontinuidades do campo elétrico.

$$\begin{cases} E_x(0^-) = 0 \\ E_x(0^+) = \frac{\phi_0}{d} - \frac{\sigma r}{2\epsilon_0} d \end{cases} \quad \begin{cases} E_x(d^-) = \frac{\phi_0}{d} + \frac{\sigma r}{2\epsilon_0} d \\ E_x(d^+) = 0 \end{cases}$$

Essas densidades superficiais de carga são, assim:

$$\begin{cases} \sigma_s(0) = \epsilon_0 \left(\frac{\phi_0}{d} - \frac{\sigma r}{2\epsilon_0} d \right) \\ \sigma_s(d) = -\epsilon_0 \left(\frac{\phi_0}{d} + \frac{\sigma r}{2\epsilon_0} d \right) \end{cases}$$

Resulta, então:

$$\phi(x) = \begin{cases} \phi_0, & x \leq 0 \\ \frac{\phi_0}{d} (d-x) + \frac{\sigma r}{2\epsilon_0} (dx-x^2), & 0 < x \leq d \\ 0, & x > d \end{cases}$$

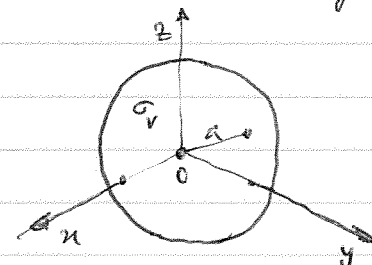
$$E_x(x) = \begin{cases} 0, & x \leq 0 \\ \frac{\phi_0}{d} - \frac{\sigma r}{2\epsilon_0} (d-x), & 0 < x \leq d \\ 0, & x > d \end{cases}$$

De notar que todos os quantitativos ($\phi(x)$, $E_x(x)$, $\sigma_s(0)$, $\sigma_s(d)$) resultam da superposição respectiva das quantidades correspondentes, separadamente, às armaduras e à carga distribuída em volume.

- Esfera carregada uniformemente

Seja uma esfera de raio a , centrada na origem O e carregada uniformemente com uma densidade volumétrica de carga σ_r .

O problema tem, obviamente, simetria esférica: $\begin{cases} \phi = \phi(r) \\ \vec{E} = E_r(r) \hat{r} \end{cases}$



$\Rightarrow r > a$: Aplicando a equação da hoflan ($\nabla \phi = 0$), que se estende (ver Apêndice): $\frac{1}{r^2} \frac{d}{dr} (r^2 \frac{d\phi}{dr}) = 0$

Dónde, integrando: $\frac{d}{dr} (r^2 \frac{d\phi}{dr}) = 0$, ou $\frac{d\phi}{dr} = \frac{C_1}{r^2}$, dónde

$$\begin{cases} \phi(r) = -\frac{C_1}{r} + C_2 \end{cases}$$

$$\begin{cases} E_r(r) = -\frac{C_1}{r^2} \end{cases}$$

Como $\phi(r \rightarrow \infty) = 0$, tem $C_2 = 0$.

$\Rightarrow r < a$: Recorrendo à equação da poisson ($\nabla \cdot \mathbf{E} \neq 0$), dónde

$$\frac{1}{r^2} \frac{d}{dr} (r^2 \frac{d\phi}{dr}) = -\frac{\sigma_v}{\epsilon_0}$$

Assim: $\frac{d}{dr} (r^2 \frac{d\phi}{dr}) = -\frac{\sigma_v}{\epsilon_0} r^2$, ou $r^2 \frac{d\phi}{dr} = -\frac{\sigma_v}{3\epsilon_0} r^3 + C_3$

dónde: $\begin{cases} \phi(r) = -\frac{\sigma_v}{6\epsilon_0} r^2 - \frac{C_3}{r} + C_4 \end{cases}$

$$\begin{cases} E_r(r) = \frac{\sigma_v}{3\epsilon_0} r - \frac{C_3}{r^2} \end{cases}$$

Como $E_r(r=0)$ deve ser finito e nulo, então $C_3 = 0$. Vem:

$$\begin{cases} \phi(r > a) = -\frac{C_1}{r} \\ \phi(r < a) = -\frac{\sigma_v}{6\epsilon_0} r^2 + C_4 \end{cases} \quad \begin{cases} E_r(r > a) = -\frac{C_1}{r^2} \\ E_r(r < a) = \frac{\sigma_v}{3\epsilon_0} r \end{cases}$$

Na fronteira $r=a$ não há carga superficial, polo que o campo elétrico e o potencial devem ser ambos contínuos:

$$\begin{cases} -\frac{C_1}{a^2} = \frac{\sigma_v}{3\epsilon_0} a \end{cases}$$

$$\begin{cases} -\frac{C_1}{a} = -\frac{\sigma_v}{6\epsilon_0} a^2 + C_4 \end{cases}$$

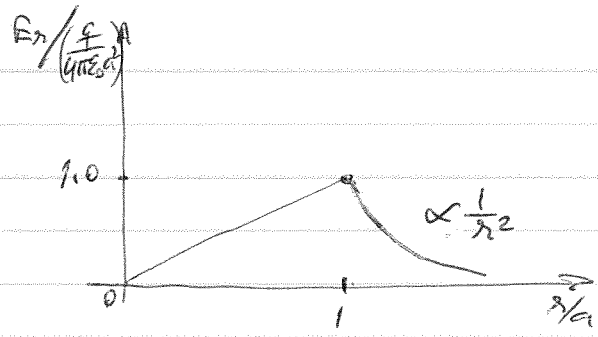
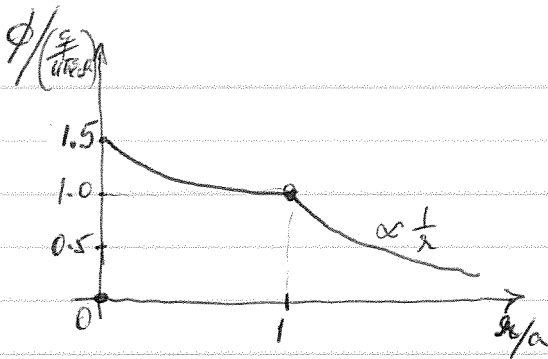
Sendo $q = (4/3\pi a^3) \sigma_v$ a carga total da esfera, vem:

$$C_1 = -\sigma_v \left(\frac{4}{3} \pi a^3 \right) \frac{1}{4\pi\epsilon_0} = -\frac{q}{4\pi\epsilon_0}$$

$$C_4 = -\frac{C_1}{a} + \frac{\sigma_v}{6\epsilon_0} a^2 = \frac{q}{4\pi\epsilon_0 a} + \frac{\sigma_v}{6\epsilon_0} a^2 =$$

$$= \frac{q}{4\pi\epsilon_0 a} + \sigma_v \left(\frac{4}{3} \pi a^3 \right) \frac{1}{8\pi\epsilon_0 a} = \frac{q}{4\pi\epsilon_0 a} \times \frac{3}{2}$$

Dónde: $\begin{cases} \phi(r > a) = \frac{q}{4\pi\epsilon_0} \cdot \frac{1}{r} \\ \phi(r < a) = \frac{q}{4\pi\epsilon_0} \cdot \frac{1}{a} \left(\frac{3}{2} - \frac{1}{2} \frac{r^2}{a^2} \right) \end{cases} \quad \begin{cases} E_r(r > a) = \frac{q}{4\pi\epsilon_0} \cdot \frac{1}{r^2} \\ E_r(r < a) = \frac{q}{4\pi\epsilon_0} \cdot \frac{1}{a^3} \end{cases}$



- Potential e densidad de carga de um campo elétrico com simetria cilíndrica

Seja um campo elétrico dado, em coordenadas cilíndricas, por $\vec{E} = \begin{cases} E_0 (r/a)^3 \hat{r}, & 0 < r < a \\ 0, & a < r \end{cases}$

A densidade volumétrica de carga pode determinar-se pela lei de Gauss: $\nabla \cdot \vec{E} = \frac{1}{\rho} \frac{\partial}{\partial \rho} (\rho E_r) = \begin{cases} \frac{4\pi^2}{a^3} E_0, & 0 < r < a \\ 0, & r > a \end{cases}$

donde:

$$\sigma_v(r) = \begin{cases} 4\pi \frac{r^2}{a^3} E_0, & 0 < r < a \\ 0, & r > a \end{cases}$$

A descontinuidade do campo em $r=a$ permite calcular a densidade superficial de carga $\sigma_s(r=a)$ através da divergência superficial:

$$\hat{n} \cdot [\vec{E}(a^+) - \vec{E}(a^-)] = \hat{r} \cdot [0 - E_0 \hat{r}] = -E_0$$

donde: $\sigma_s(r=a) = -\epsilon_0 E_0$

A carga total do cilindro de raio a é nula, como teria de ser para si ter um campo nulo no exterior; para uma altura L do cilindro, a carga total vale:

$$q_L = \int_{V_L} \sigma_v dr + \int_{S_L} \sigma_s ds = \frac{4\pi \epsilon_0 E_0}{a^3} L \int_0^a r^2 \cdot 2\pi r dr +$$

$$+ 2\pi a \cdot L \cdot (-\epsilon_0 E_0) = 0$$

Quanto ao potencial, deverá ser da forma $\phi(r)$ por simetria. Para $r > a$, e como $\vec{E} = 0$, ϕ é constante;

para que $\phi(r \rightarrow \infty) = 0$, deve ser $\phi(r \geq a) = 0$.

Para a região interior:

$$\phi(0) - \phi(r) = \int_0^r \vec{E}(p) \cdot \hat{r} dp = \frac{E_0}{a^3} \int_0^r p^3 dp = \frac{E_0}{4a^3} p^4$$

Caso $\phi(a) = 0$, vem $\phi(r) = E_0 a/4$, e então

$$\phi(r) = \begin{cases} \frac{E_0 a}{4} [1 - (\frac{r}{a})^4], & r \leq a \\ 0, & a \leq r \end{cases}$$

2.10. Dipolo eléctrico

Seja um dipolo eléctrico constituído pelas cargas polares $\pm q$, situadas no eixo zt em $\pm d/2$. O potencial $\phi(\vec{r})$ tem clara simetria em torno do eixo zt, ou seja, $\phi = \phi(r, \theta)$, e pode escrever-se directamente

$$\phi(r, \theta) = \frac{q}{4\pi\epsilon_0} \left(\frac{1}{r_+} - \frac{1}{r_-} \right)$$

$$\text{sendo: } r_{\pm} \approx r \mp \frac{d}{2} \cos \theta \quad (r \gg d)$$

Resulta:

$$\phi(r, \theta) \approx \frac{qd}{4\pi\epsilon_0 r^2} \cos \theta$$

Usando a definição do momento dipolar eléctrico

$$\vec{p} = qd\hat{z}$$

vem imediatamente

$$\boxed{\phi(r, \theta) \approx \frac{\vec{p} \cdot \vec{r}}{4\pi\epsilon_0 r^2}} \quad (r \gg d)$$

As superfícies equipotenciais são facilmente obtidas:

$$r^2 = \frac{p}{4\pi\epsilon_0 \phi} \cos \theta = C \cos \theta \quad (C: \text{constante})$$

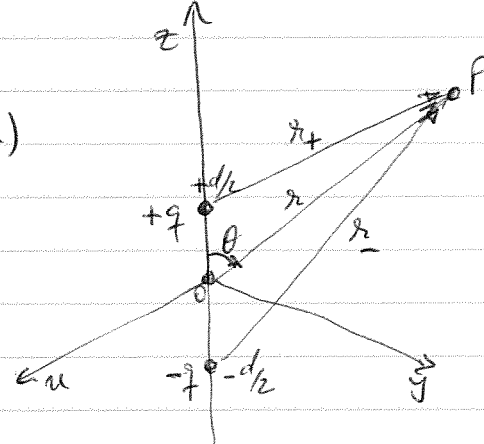
O campo eléctrico do dipolo calcula-se facilmente por $\vec{E} = -\nabla\phi$, em coordenadas esféricas:

$$\begin{aligned} E_r &= -\frac{\partial \phi}{\partial r} \approx \frac{2pd\cos\theta}{4\pi\epsilon_0 r^3} \\ (\text{dipolo } \vec{p} = p\hat{z} \text{ na origem}): \quad E_\theta &= -\frac{1}{r} \frac{\partial \phi}{\partial \theta} \approx \frac{p\sin\theta}{4\pi\epsilon_0 r^3} \\ E_\phi &= -\frac{1}{r^2 \sin\theta} \frac{\partial \phi}{\partial \phi} = 0 \end{aligned}$$

As linhas de força do \vec{E} são obtidas integrando a equação $d\vec{r} \times \vec{E} = 0$, ou seja:

$$\begin{vmatrix} \hat{r} & \hat{\theta} & \hat{\phi} \\ dr & r d\theta & r \sin\theta d\phi \\ E_r & E_\theta & 0 \end{vmatrix} = 0$$

daí resulta $d\phi = 0$ (campo \vec{E} no plano $(\hat{r}, \hat{\theta})$) e



Eg $dr = r \vec{E}_x d\theta$ que, integrada, estabelece a expressão das linhas de força do dipolo $\vec{P} = p\hat{z}$:

$$r = C \sin^2 \theta \quad (C: \text{constante})$$

A figura mostra as linhas equipotenciais e as linhas de força do campo elétrico, para o dipolo \vec{P} .

Note-se que, dada a invariância da expressão do potencial elétrico do dipolo relativamente ao referencial utilizado, o resultado anteriormente obtido é geral. Assim, entendendo à figura, pode escrever-se

$$\phi(\vec{r}) = \frac{\vec{P} \cdot \vec{R}}{4\pi\epsilon_0 R^2} = \frac{\vec{P} \cdot \vec{R}}{4\pi\epsilon_0 R^3}$$

sendo $\vec{R} = \vec{r} - \vec{r}'$ o vetor de posição do ponto P em que se calcula o potencial relativamente à localização do dipolo elétrico \vec{P} .

A expressão geral do campo elétrico do dipolo resulta da imediato:

$$\vec{E}(\vec{r}) = -\nabla_{\vec{r}} \phi(\vec{r}) = -\frac{1}{4\pi\epsilon_0} \left[\frac{\nabla_{\vec{r}} (\vec{P} \cdot \vec{R})}{R^3} + (\vec{P} \cdot \vec{R}) \nabla_{\vec{r}} \left(\frac{1}{R^3} \right) \right]$$

Sendo (ver Apêndice...) $\nabla(\vec{A} \cdot \vec{B}) = (\vec{B} \cdot \nabla) \vec{A} + (\vec{A} \cdot \nabla) \vec{B} + \vec{B} \times (\nabla \times \vec{A}) + \vec{A} \times (\nabla \times \vec{B})$

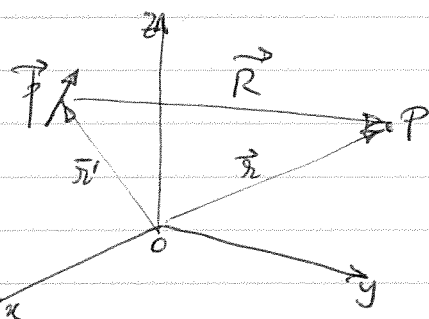
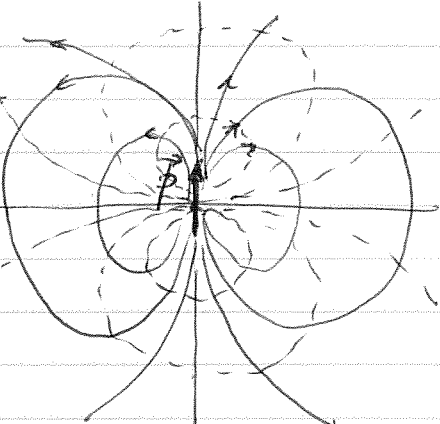
como \vec{P} é um vetor constante. $\nabla_{\vec{r}} \times \vec{r} = 0$, vem:

$$\begin{aligned} \nabla_{\vec{r}} (\vec{P} \cdot \vec{R}) &= (\vec{P} \cdot \nabla_{\vec{r}}) \vec{R} = \left(P_x \frac{\partial}{\partial x} + P_y \frac{\partial}{\partial y} + P_z \frac{\partial}{\partial z} \right) (x - x', y - y', z - z') = \\ &= \vec{P} \\ \nabla_{\vec{r}} \left(\frac{1}{R^3} \right) &= -\frac{3}{R^4} \hat{R} \end{aligned}$$

Doutr o campo elétrico de um dipolo elétrico \vec{P} arbitrário:

$$\vec{E}(\vec{r}) = \frac{\vec{P}}{4\pi\epsilon_0 R^3} \left[3(\vec{P} \cdot \hat{R}) \hat{R} - \vec{P} \right]$$

Salienta-se as dependências do potencial e das componentes do campo elétrico em R^{-2} e R^{-3} , respectivamente, evidenciando um decimento rápido com a distância ao dipolo por comparação com o caso de uma carga puntual. Note-se, ainda, a



simplificada do cálculo de \vec{E} a partir de ϕ , por comparar com o cálculo direto de \vec{E} a partir da lei de Coulomb e da aproximação geométrica.

Um dipolo elétrico ideal $\vec{P} \rightarrow 0$ limite de um dipolo real $\vec{P} = qd\hat{p}$ em que $d \rightarrow 0$ mantendo-se $p = qd$ constante.

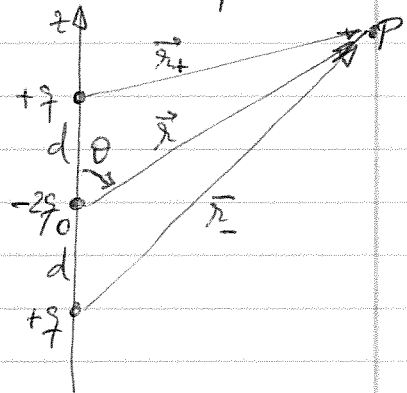
Um caso importante de dipolo molecular é o da água, representado na figura

$$[p] = \text{LTI} \quad (\text{unidade SI: coulomb-metro, Cm})$$

Em Física Molecular, é comum usar-se a unidade debye (D), sendo $1 \text{ D} = 3.33564 \times 10^{-30} \text{ Cm}$.

2.11. Quadrupolo elétrico

A figura mostra uma configuração de quadrupolo elétrico, neste caso linear, centrado na origem e alinhado segundo o eixo zz , bem como o ponto $P(\vec{r})$ em que se pretende calcular o potencial elétrico, sendo $r_2 \gg d$. Note-se que a carga total do quadrupolo é nula, e o quadrupolo pode ser representado como a superposição de dois dipolos lineares alinhados segundo zz mas opostos ($\vec{P}_\pm = \pm qd\hat{z}$).



O problema tem óbvia simetria em torno do eixo zz do quadrupolo linear, e o potencial escreve-se imediatamente como:

$$\phi(\vec{r}) = \frac{q}{4\pi\epsilon_0} \left(\frac{1}{r_-} - \frac{2}{r_0} + \frac{1}{r_+} \right) = \frac{q}{4\pi\epsilon_0 r_2} \left(\frac{r_0}{r_-} + \frac{r_0}{r_+} - 2 \right)$$

sendo $r_\pm = r_0 \pm d\hat{z}$. Escrevendo por expansão em séries:

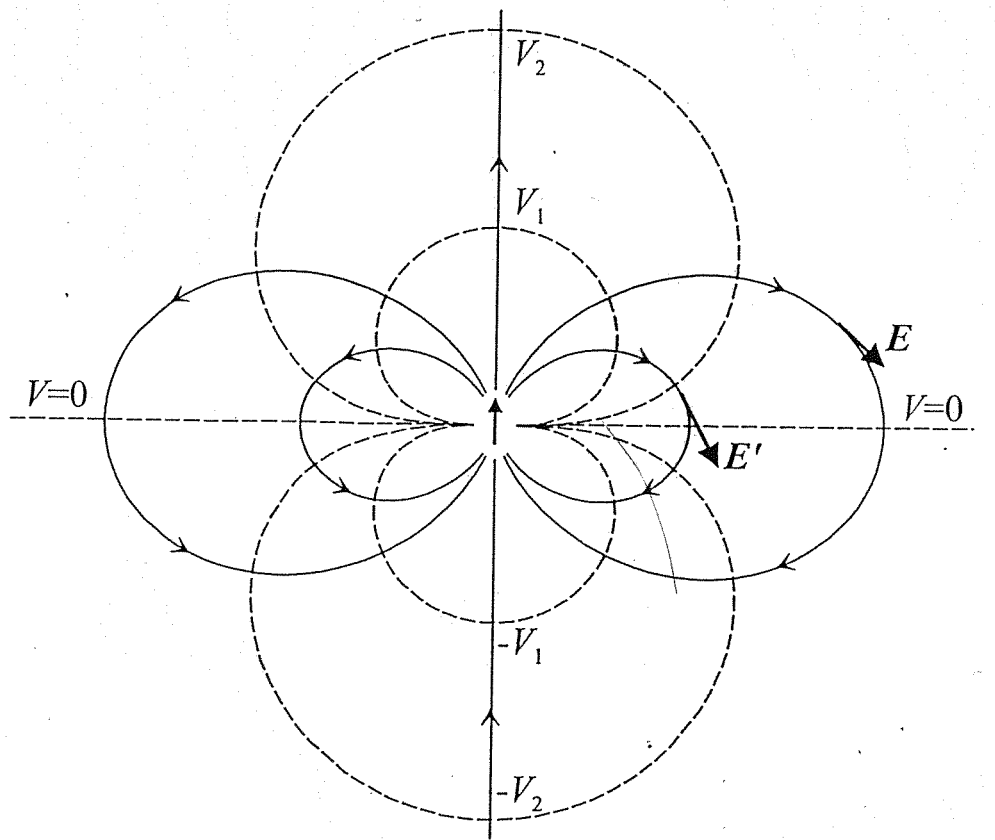
$$\frac{r_0}{r_\pm} = 1 \mp \frac{d}{r_0} \cos\theta + \frac{1}{2} \left(\frac{d}{r_0} \right)^2 (3 \cos^2\theta - 1) + O\left(\frac{d}{r_0}\right)^3$$

temos:

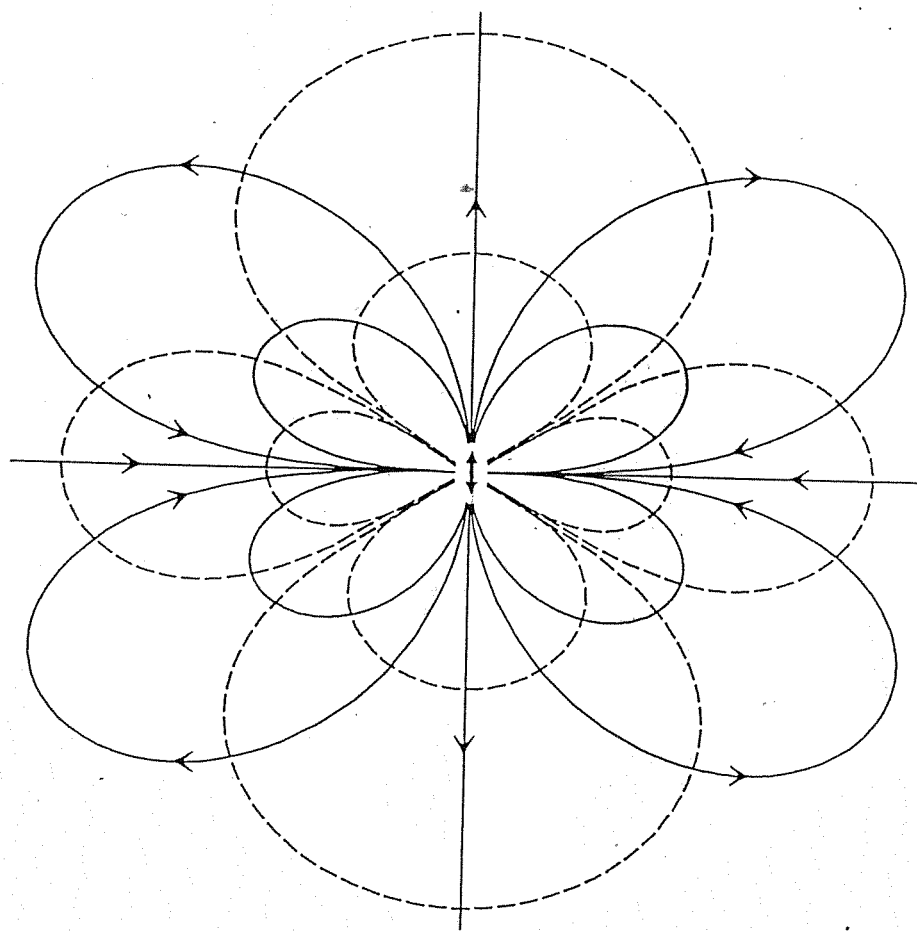
$$\boxed{\phi(r, \theta) \approx \frac{qd^2}{4\pi\epsilon_0 r^3} (3 \cos^2\theta - 1)} \quad (r \gg d)$$

em que se dispõem termos de ordem $(d/r)^4$ e ordens superiores (os termos de ordem ímpar são nulos). Note-se a ausência das contribuições monopolar (em r^{-1}) e dipolar (em r^{-2}) para o potencial, de acordo com ser nula a carga total da distribuição de carga, bem como o seu momento dipolar total. Resta, como primeira contribuição

2.28a



DIPOLO



QUADRUPLO
LINEAR

para $\phi(r)$, a expressão é calculada, com dependência em r^{-3} :

As superfícies equipotenciais são dadas por

$$r^3 = C (3 \cos^2 \theta - 1) \quad (C: \text{constante})$$

O campo elétrico é dado em coordenadas esféricas:

$$E_r = -\frac{\partial \phi}{\partial r} = \frac{3q d^2}{4\pi\epsilon_0 r^4} (3 \cos^2 \theta - 1)$$

$$E_\theta = -\frac{1}{r} \frac{\partial \phi}{\partial \theta} = \frac{3q d^2}{4\pi\epsilon_0 r^4} (2 \sin \theta \cos \theta)$$

$$E_\phi = 0$$

As respectivas linhas de força são obtidas da solução da equação $d\vec{r} \times \vec{E} = 0$:

$$\begin{vmatrix} \hat{r} & \hat{\theta} & \hat{\phi} \\ dr & r d\theta & r \sin \theta d\phi \\ E_r & E_\theta & 0 \end{vmatrix} = 0$$

onde: $E_\theta dr = r E_r d\theta$. Substituindo as respectivas expressões:

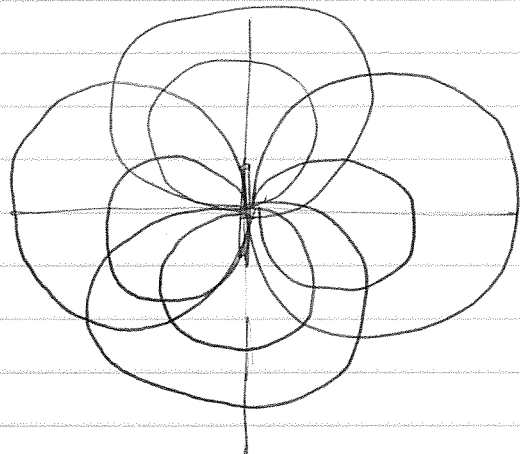
$$\frac{dr}{d\theta} = r \frac{3 \cos^2 \theta - 1}{2 \cos \theta \sin \theta} = \frac{r}{2} \left(\frac{2 \cos^2 \theta - 1}{\cos \theta \sin \theta} + \frac{\cos \theta}{\sin \theta} \right)$$

$$\text{Integrando: } \ln r = \frac{1}{2} \left[\ln (\cos \theta \sin \theta) + \ln (\sin \theta) \right] + \frac{1}{2} \ln C$$

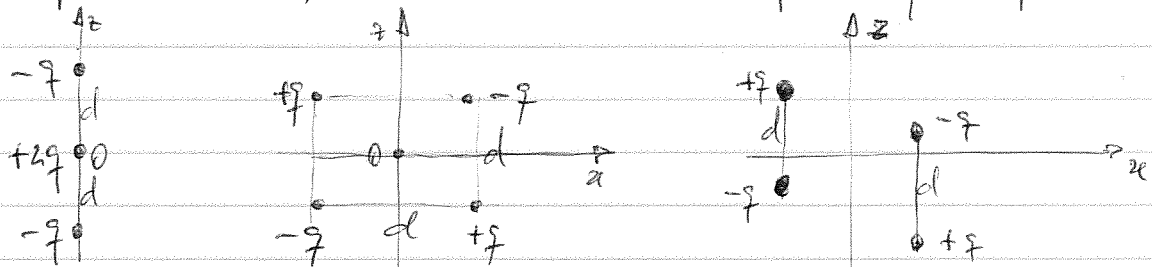
ou, equivalente:

$$r^2 = C \cos \theta \sin^2 \theta$$

A figura mostra as linhas de força de \vec{E} e as linhas equipotenciais do quadrupolo linear.



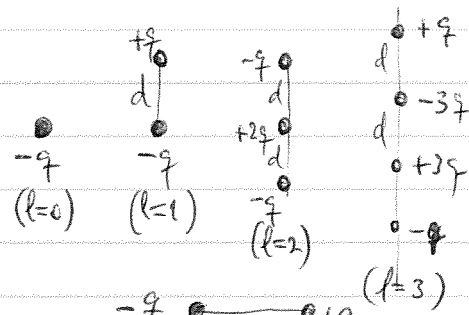
Outras configurações de quadrupolos elétricos são possíveis, tal como se ilustra na figura, em que a carga total e o momento dipolar total são ambos nulos, verificando-se ainda uma dependência em r^{-3} da primeira contribuição para o potencial ϕ , como atrás calculado para o quadrupolo linear.



O quadrupolo linear pode ser gerado a partir de um dipolo \vec{p} , gerando um segundo dipolo \vec{p}' que é transladado de

uma distância d e invertidos, e sobrepõe os dois dipólos.

Aplicando uma regra semelhante, pode obter-se um octópole linear em, mais geralmente, um multipolo linear de ordem $2l$ através da l deslocamentos ($2l$ é o número de vezes que a carga $+q$ surge na distribuição multipolar; excepto para $l=0$, a carga total do multipolo é nula). Um arranjo de dipólos opostos com o da figura resulta num octópole, cujo potencial decaimos



($l=3$)

2.12. Expansão multipolar do potencial elétrico

Seja agora uma distribuição arbitrária de cargas pontuais q_k situadas em \vec{r}'_k ($k=1, 2, \dots, N$), e o potencial $\phi(\vec{r})$ no ponto P :

$$\phi(\vec{r}) = \frac{1}{4\pi\epsilon_0} \sum_{k=1}^N \frac{q_k}{|\vec{r} - \vec{r}'_k|}$$

Sendo a extensão da distribuição de carga muito inferior à distância de P a essa distribuição de cargas ($|\vec{r} - \vec{r}'_k|_{\min} > |\vec{r}'_k - \vec{r}'_{k'}|_{\max}$; i.e.,

normal situar a origem do sistema coordenado Oxyz no interior do volume em que se situam as cargas, e entao vira $|\vec{r}'_k|_{\max} \ll |\vec{r}|$,

$$\text{Então: } |\vec{r} - \vec{r}'_k|^{-1} = [(\vec{r} - \vec{r}'_k) \cdot (\vec{r} - \vec{r}'_k)]^{-1/2} = [\vec{r}^2 + \vec{r}'_k^2 - 2\vec{r} \cdot \vec{r}'_k]^{-1/2} =$$

$$= \vec{r}^{-1} \left[1 + \left(\frac{\vec{r}'_k^2}{\vec{r}^2} - 2 \frac{\vec{r} \cdot \vec{r}'_k}{\vec{r}^2} \right) \right]^{-1/2} =$$

$$= \vec{r}^{-1} \left\{ 1 - \frac{1}{2} \left[\frac{\vec{r}'_k^2}{\vec{r}^2} - 2 \frac{\vec{r} \cdot \vec{r}'_k}{\vec{r}^2} \right] + \frac{3}{8} \left[\dots \right]^2 - \frac{5}{16} \vec{r}^2 \vec{r}'_k^2 \right\}$$

Desse resulta que $\phi(\vec{r})$ si pode escrever como uma soma de contribuições; escrevendo $\vec{r} \cdot \vec{r}'_k = r'_k \cos \theta'_k$, vem:

$$\phi(\vec{r}) = \frac{1}{4\pi\epsilon_0} \left\{ \left[\frac{1}{r} \sum_{k=1}^N q_k \right] + \left[\frac{1}{r^2} \sum_{k=1}^N q_k r'_k \cos \theta'_k \right] + \left[\frac{1}{r^3} \sum_{k=1}^N q_k r'_k^2 \frac{(3 \cos^2 \theta'_k - 1)}{2} \right] + \dots \right\}$$

Introduzindo os polinómios de Legendre $P_n(\xi)$, com

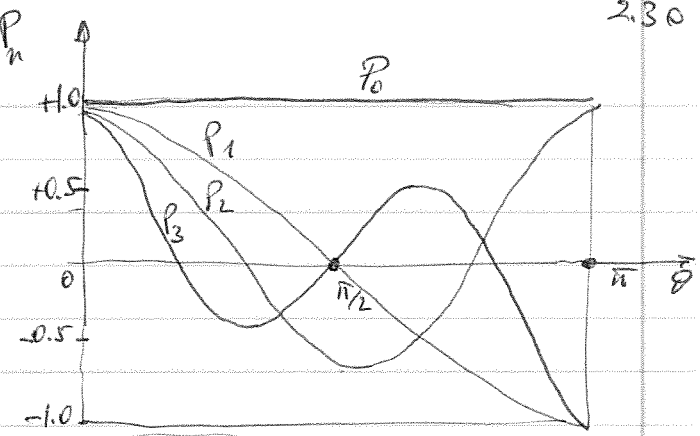
$$P_n(\xi) = \frac{1}{2^n n!} \frac{d^n}{d\xi^n} (\xi^2 - 1)^n \quad (n: \text{ímpar})$$

$P_0(\xi) = 1$	$P_3 = \frac{1}{2} (5\xi^3 - 3\xi)$
$P_1(\xi) = \xi$	$P_4 = \frac{1}{8} (35\xi^4 - 30\xi^2 + 3)$
$P_2(\xi) = \frac{1}{2} (3\xi^2 - 1)$	$P_5 = \frac{1}{8} (63\xi^5 - 70\xi^3 + 15\xi)$

Verifica-se a fórmula da recombinação:

$$(n+1)P_{n+1}(\xi) = (2n+1)\xi P_n(\xi) - n P_{n-1}(\xi)$$

faç -n $\xi = \cos \theta$, e pode mostrar-se que se pode escrever segundo a expansão multipolar seguinte:



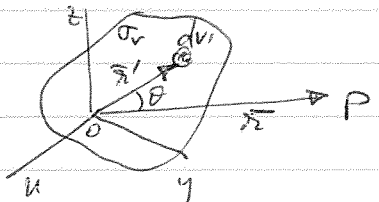
$$\phi(\vec{r}) = \frac{1}{4\pi\epsilon_0} \sum_{n=0}^{\infty} \frac{1}{r^{n+1}} \left[\sum_{k=1}^n q_k r_k^n P_n(\xi_k) \right]$$

em que $\xi_k = \cos \theta_k = \frac{\vec{r} \cdot \vec{r}_k}{r r_k}$.

Considerando uma distribuição contínua de carga de densidade volumétrica $\sigma_v(\vec{r}')$, segundo a mesma linha de raciocínio, obtém-se

$$\phi(\vec{r}) = \frac{1}{4\pi\epsilon_0} \sum_{n=0}^{\infty} \frac{1}{r^{n+1}} \left[\int_{V_1} \sigma_v(\vec{r}') P_n(\xi) r'^n dV' \right]$$

com $\xi = \cos \theta = \frac{\vec{r} \cdot \vec{r}'}{r r'}$.



E' importante analisar os primeiros termos da expansão multipolar. Considerese, em particular, distribuições contínuas e discretas de carga.

$n=0$: Contribuição monopolar

$$\phi_0(\vec{r}) = \frac{1}{4\pi\epsilon_0} \cdot \frac{1}{r} \left[\sum_{k=1}^n q_k \right] = \frac{Q}{4\pi\epsilon_0 r}$$

$$\phi_0(\vec{r}) = \frac{1}{4\pi\epsilon_0} \cdot \frac{1}{r} \left[\int_{V_1} \sigma_v(\vec{r}') dV' \right] = \frac{Q}{4\pi\epsilon_0 r}$$

(analogamente para distribuições superficiais e lineares de carga)

em que Q é a carga total.

Este será, geralmente, o termo dominante, comportando-se o potencial em pontos afastados da distribuição de carga como se a carga total respetiva se concentrasse na origem 0.

$n=1$: Contribuição dipolar

$$\phi_1(\vec{r}) = \frac{1}{4\pi\epsilon_0} \cdot \frac{1}{r^2} \cdot \vec{r} \cdot \left[\sum_{k=1}^n q_k \vec{r}'_k \right] = \frac{\vec{r} \cdot \vec{P}}{4\pi\epsilon_0 r^2}$$

$$\phi_1(\vec{r}) = \frac{1}{4\pi\epsilon_0} \cdot \frac{1}{r^2} \cdot \vec{r} \cdot \left[\int_{V_1} \sigma_v(\vec{r}') \vec{r}' dV' \right] = \frac{\vec{r} \cdot \vec{P}}{4\pi\epsilon_0 r^2}$$

(analogamente para distribuições

em que \vec{P} é o momento dipolar da distribuição de carga:

$$\vec{P} = \sum_{k=1}^n q_k \vec{r}'_k \quad \text{ou} \quad \vec{P} = \int_V \sigma_v(\vec{r}') \vec{r}' dv'$$

Este termo corresponde à contribuição para o potencial $\phi(r)$ de um dipolo elétrico de momento \vec{P} situado no origem O. Será, geralmente, o termo dominante quando a carga total é nula (momento monopolar $Q=0$).

② $n=2$: Contribuição quadrupolar

$$\begin{aligned} \phi_2(r) &= \frac{1}{4\pi\epsilon_0 r^3} \left[\frac{1}{2} \sum_{k=1}^n r'_k^2 (3 \cos^2 \theta_k - 1) \right] = \\ &= \frac{1}{4\pi\epsilon_0 r^3} \left[\frac{1}{2} \sum_{k=1}^n r'_k^2 \left(3 \frac{(r \cdot \vec{r}'_k)^2}{r'^2} - 1 \right) \right] \end{aligned}$$

Usando coordenadas cartesianas, vem:

$$\begin{aligned} \vec{r}/r &= \hat{r} = (l_1, l_2, l_3) \\ \vec{r}'_k &= (x'_{1k}, x'_{2k}, x'_{3k}) \end{aligned}$$

Após cálculos, resulta:

$$\phi_2(r) = \frac{1}{4\pi\epsilon_0 r^3} \left[\frac{1}{2} \sum_{i,j=1}^3 l_i Q_{ij} l_j \right] = \frac{1}{4\pi\epsilon_0 r^3} \sum_{i,j=1}^3 \left(\frac{1}{2r^2} \right)_i Q_{ij} \left(\frac{1}{2r^2} \right)_j$$

$$\text{com: } Q_{ij} = \sum_{k=1}^n q_k (3 x'_{ik} x'_{jk} - \delta_{ij} x'^2_k) \quad [Q_{ij}] = [\text{Cm}^2]$$

Estes coeficientes Q_{ij} são os 9 elementos do tensor momento quadrupolar da distribuição de cargas pontuais (em coordenadas cartesianas). Trata-se de um tensor de 2ª ordem, que se transforma numa invariante de referencial através de uma transformação ortogonal de coordenadas como

$$Q'_{ij} = \sum_{l,m=1}^3 a_{il} a_{jm} Q_{lm}, \quad \text{em que os coeficientes } a_{il}$$

definem a transformação ortogonal. O valor $\sum_{i,j=1}^3 l_i Q_{ij} l_j$ é um escalar independente do referencial. O tensor quadrupolar é simétrico, $Q_{ij} = Q_{ji}$, e tem traco nulo, $\sum_{i=1}^3 Q_{ii} = 0$, o que significa que há apenas 5 componentes independentes.

Considerando agora uma distribuição volumétrica de carga de densidade $\sigma_v(\vec{r}')$ (analogamente para distribuições superficiais ou lineares de carga), vem:

$$\begin{aligned} \phi_2(r) &= \frac{1}{4\pi\epsilon_0 r^3} \left[\frac{1}{2} \int_V \sigma_v(\vec{r}') (3 x'_i x'_j - \delta_{ij} x'^2) dv' \right] = \\ &= \frac{1}{4\pi\epsilon_0 r^3} \sum_{i,j=1}^3 \left(\frac{1}{2r^2} \right)_{ij} Q_{ij} x'_j \end{aligned}$$

$$\text{Sendo: } Q_{ij} = \int_V \bar{\sigma}_V(\vec{r}') [3x_i'x_j' - r'^2 \delta_{ij}] dV'$$

Esta contribuição $\phi_2(\vec{r})$ para o potencial $\phi(\vec{r})$ é geralmente dominante quando as contribuições $\phi_0(\vec{r})$ (monopolar) e $\phi_1(\vec{r})$ (dipolar) forem ambas unidas (ou seja, quando os momentos monopolar $Q=Q^{(0)}$ e dipolar $\vec{P}=Q^{(1)}$ da distribuição de carga forem ambos unidos).

Simetrias no sistema de cargas implicam, ainda, a amarrar de certos elementos do tensor quadrupolar Q_{ij} (em que, como acima informado, se tem $Q_{ij} = Q_{ji} \Rightarrow \sum_i Q_{ii} = 0$). Para simetria axial em torno do eixo zz , vem:

$$\begin{cases} Q_{12} = 0 & Q_{13} = 0 & Q_{23} = 0 \\ Q_{11} = Q_{22} & & \\ 2Q_{11} + Q_{33} = 0 & & \end{cases} \quad (\text{pois } \bar{\sigma}_V(x',y',z') = \bar{\sigma}_V(-x',y',z') = \bar{\sigma}_V(x',-y',z') = \bar{\sigma}_V(-x',-y',z'), \text{ donde } Q_{12} = \int_V \bar{\sigma}_V(\vec{r}') 3x_1'y_1'dv' = 0,$$

e assim análogamente)

Assim, apenas uma quantidade independente $Q^{(2)}$ define o tensor quadrupolar, e o potencial quadrupolar escreve-se

$$\phi_2(\vec{r}) = \frac{Q^{(2)}}{4\pi\epsilon_0 r^3} (3\cos^2\theta - 1) \quad (\text{simetria axial } zz)$$

No caso particular de um quadrupolo linear, $Q^{(2)} = qd^2$, que é o resultado obtido na seção 2.11.

Núcleos atómicos (constituídos por protões e neutrões) possuem um eixo de simetria, tornando, por exemplo, a forma de um elipsóide (prolat ou oblato relativamente ao eixo zz). O seu momento quadrupolar indica desvio relativamente à distribuição esférica da carga:

$$\begin{cases} \text{prolat: } Q^{(2)} > 0 \\ \text{oblato: } Q^{(2)} < 0 \end{cases}$$

As unidades SI dos momentos multipolares das distribuições de carga são:

$$\begin{aligned} Q^{(0)} &: C \\ Q^{(1)} &: Cm \\ Q^{(2)} &: Cm^2 \end{aligned}$$

Núcleo	$Q^{(2)}$ (barn)
${}^{16}_8 O$	0.0
${}^{14}_8 O$	-0.026
${}^{39}_{19} K$	0.11
${}^{209}_{83} Bi$	-0.35

(Unidade de $Q^{(2)}$: carga protónica $\times 10^{-28} m^2 = \text{barn}$)

2.13. Escolha da origem do sistema de coordenadas na expansão multipolar

O momento monopolar $Q^{(0)}$ de uma distribuição de carga é obviamente independente da origem O do sistema de coordenadas adotado. O momento dipolar $Q^{(1)} = \vec{P}$ e o tensor

quadripolar $Q^{(2)}$ dependem, igualmente, do referencial utilizado. Sendo \vec{R} o vetor da posição da origem O' de um novo sistema de coordenadas relativamente a O , a posição da carga q_k no novo referencial será \vec{s}'_k tal que

$$\vec{s}'_k = \vec{s}_k + \vec{R}$$

Os momentos dipolares nos dois referenciais relacionam-se por:

$$\vec{P}_{O'} = \sum_{k=1}^n q_k \vec{s}'_k = \sum_{k=1}^n q_k (\vec{s}'_k - \vec{R}) = \vec{P}_O - Q \vec{R}$$

(ou, para distribuição contínua de carga: $\vec{P}_{O'} = \int \vec{s}' \sigma_v(\vec{s}') d\tau' = \int (\vec{s}' - \vec{R}) \sigma_v(\vec{s}') d\tau' = \vec{P}_O - Q \vec{R}$). Sendo $d = 0$, o momento dipolar não depende da origem do sistema de coordenadas.

Em distribuições de carga com $Q \neq 0$, escolhendo um sistema de coordenadas com origem no "centro de carga" da distribuição, o momento dipolar \vec{P} anula-se. O "centro de carga" define-se por

$$[\vec{R}_c = \frac{1}{Q} \sum_{k=1}^n q_k \vec{s}'_k] \quad \text{ou} \quad [\vec{R}_c = \frac{1}{Q} \int v_r \sigma_v(\vec{s}') d\tau']$$

fazendo O' nesse ponto, vem:

$$\vec{P}_{O'} = \sum_{k=1}^n q_k \vec{s}'_k = \sum_{k=1}^n q_k \vec{s}'_k - \vec{R}_c \sum_{k=1}^n q_k = \vec{R}_c Q - \vec{R}_c Q = 0$$

Quanto ao momento quadripolar, vem:

$$Q'_{ij} = Q_{ij} - 3 \vec{P}_i \cdot \vec{R}_j - 3 \vec{P}_j \cdot \vec{R}_i + 3 Q R_i R_j$$

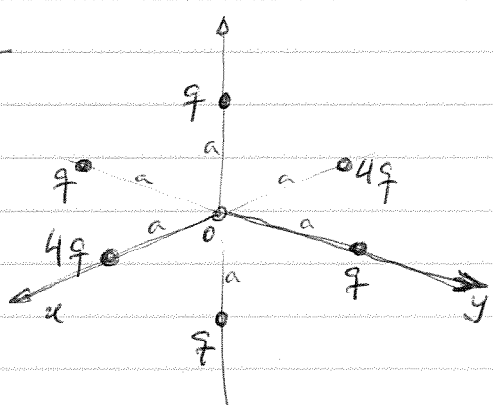
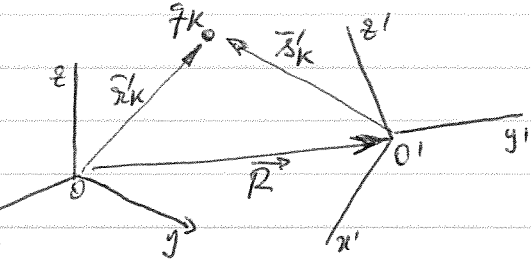
Sendo $Q=0$ e $\vec{P}=0$, então $Q'_{ij} = Q_{ij}$, e o momento quadripolar não depende da origem.

2.14. Exemplos de expansão multipolar

Os exemplos seguintes ilustram o cálculo de momentos multipoares e do potencial resultante de diversas distribuições de carga

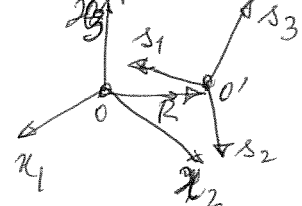
- Distribuições de 6 cargas pontuais

A figura ilustra uma distribuição de 6 cargas pontuais com simetria relativamente à origem dos eixos coordenados. O primeiro termo na expansão multipolar do potencial, para um ponto a distância $r \gg a$



No caso em que a distribuição de carga apresenta uma carga total $Q=0$, e o respetivo momento dipolar $\vec{P}=0$ (por escolha conveniente da origem do sistema de coordenadas no "centro da carga"), o momento quadrupolar é independente da origem. Sejam Q_{ij} e Q'_{ij} os momentos quadrupolares do sistema de cargas calculados, respectivamente, relativamente aos referenciais com origens em O' e O :

$$\begin{cases} Q_{ij} = \int_{V'} dV' \sigma(\vec{r}') [3x_i' x_j' - r'^2 \delta_{ij}] & , [0x_1 x_2 x_3] \\ Q'_{ij} = \int_{V'} dV' \sigma_v(\vec{s}') [3s_i' s_j' - s'^2 \delta_{ij}] & , [0's_1 s_2 s_3] \end{cases}$$



Sendo: $\vec{r}' = \vec{x}' - \vec{O}' = \vec{x}' - \vec{R}$

Então:
$$\begin{aligned} Q'_{ij} &= \int_{V'} dV' \sigma_v(\vec{s}') [3(x_i' - R_i)(x_j' - R_j) - (r'^2 + R^2 - 2\vec{r}' \cdot \vec{R}) \delta_{ij}] = \\ &= \int_{V'} dV' \sigma_v(\vec{s}') [3x_i' x_j' - r'^2 \delta_{ij}] - \\ &\quad - 3 \int_{V'} dV' \sigma_v(\vec{s}') (x_i' R_j) - 3 \int_{V'} dV' \sigma_v(\vec{s}') (x_j' R_i) + \\ &\quad + 3 \int_{V'} dV' \sigma_v(\vec{s}') R_i R_j - \int_{V'} dV' \sigma_v(\vec{s}') R^2 \delta_{ij} - \\ &\quad - 2 \left[\int_{V'} dV' \sigma_v(\vec{s}') \vec{r}' \right] \cdot \vec{R} \delta_{ij} \end{aligned}$$

Donde:

$$Q'_{ij} = Q_{ij} - 3P_i R_j - 3P_j R_i + 3QR_i R_j - QR^2 \delta_{ij} - 2\vec{P} \cdot \vec{R} \delta_{ij}$$

Sendo $Q=0$ e $\vec{P}=0$, resulta: $Q'_{ij} = Q_{ij}$

$$\text{da origem, vale: } \phi_0(\vec{r}) = \frac{1}{4\pi\epsilon_0 r} \sum_{k=1}^6 q_k = \frac{12q}{4\pi\epsilon_0 r}$$

O momento dipolar da distribuição vale: $\vec{P} = \sum_{k=1}^6 q_k \vec{r}_k' = 0$, donde a contribuição dipolar para o potencial

$$\phi_1(\vec{r}) = \frac{1}{4\pi\epsilon_0 r^2} \vec{r} \cdot \vec{P} = 0$$

Quanto à contribuição quadrupolar, sendo $\hat{r}_i = \vec{r}_i / |\vec{r}_i| = (l, m, n)$, com $l^2 + m^2 + n^2 = 1$, vem:

$$\begin{aligned} \phi_2(\vec{r}) &= \frac{1}{4\pi\epsilon_0 r^3} \left[\frac{1}{2} \sum_{i,j=1}^3 l_i Q_{ij} l_j \right] = \\ &= \frac{1}{4\pi\epsilon_0 r^3} \left[(3l^2 - 1)a_f^2 + (3m^2 - 1)a_f^2 + (3n^2 - 1)4a_f^2 \right] = \\ &= \frac{a_f^2}{4\pi\epsilon_0 r^3} (3l^2 + 3m^2 + 12n^2 - 6) = \frac{3a_f^2}{4\pi\epsilon_0 r^3} (3n^2 - 1) \end{aligned}$$

Os termos seguintes da expansão de $\phi(\vec{r})$ podem ser calculados, resultando:

$$\begin{aligned} \phi_3(\vec{r}) &= 0 \\ \phi_4(\vec{r}) &= \frac{a_f^4}{16\pi\epsilon_0 r^5} [35(l^4 + m^4 + 4n^4) - 90n^2 - 12] \end{aligned}$$

Assim, o potencial em $P(\vec{r})$ vale:

$$\phi(\vec{r}) = \sum_{n=1}^{\infty} \phi_n(\vec{r}) = \frac{6q}{4\pi\epsilon_0 r} \left\{ 2 + \left(\frac{3n^2 - 1}{2} \right) \left(\frac{a}{r} \right)^2 + \frac{1}{24} \left[35(l^4 + m^4 + 4n^4) - 90n^2 - 12 \right] \times \left(\frac{a}{r} \right)^4 + \dots \right\}$$

Para $r \geq 10a$, a série reduz-se aos primeiros termos, com erros inferior a 1%.

Momento dipolar de distribuição superficial estéril de raia
Supõe-se uma densidade superficial da carga

$$\sigma_s = \sigma_0 \cos\theta'$$

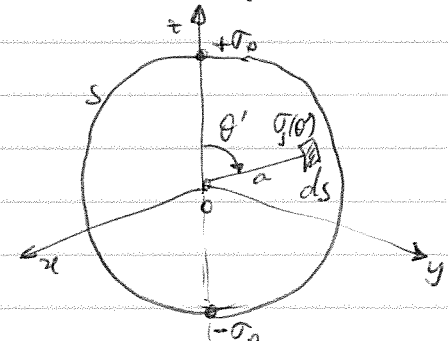
distribuída numa superfície esférica de raio a , centrada na origem. O momento dipolar relativamente à origem vale:

$$\vec{P} = \int_S \sigma_s(\vec{r}') \vec{r}' dS$$

$$\begin{aligned} \text{Sendo: } \vec{r}' &= a (\sin\theta' \cos\phi' \hat{x} + \sin\theta' \sin\phi' \hat{y} + \cos\theta' \hat{z}) \\ dS &= a^2 \sin^2\theta' d\theta' d\phi' \end{aligned}$$

Vem:

$$P_x = \int_0^{2\pi} \int_0^\pi \sigma_0 a^3 \sin^2\theta' \cos\theta' \cos\phi' d\theta' d\phi' = 0$$



$$P_3 = \int_0^{2\pi} \int_0^{\pi} \sigma_0 a^3 \sin^2 \theta' \cos \theta' \sin \phi' d\theta' d\phi' = 0$$

$$P_2 = \int_0^{2\pi} \int_0^{\pi} \sigma_0 a^3 \sin \theta' \cos^2 \theta' d\theta' d\phi' = \frac{4\pi a^3 \sigma_0}{3}$$

dónde: $\vec{P} = \frac{4}{3} \pi a^3 \sigma_0 \hat{z}$.

→ Momentos de distribuições esféricas de carga com simetria axial

Numa esfera de raio a , centrada na origem, existe uma distribuição volumétrica de carga elástica de densidade

$$\sigma_r(r', \theta') = \begin{cases} \sigma_0 \left(\frac{r'}{a}\right)^2 \sin^2 \theta', & r' \leq a \\ 0, & r' > a \end{cases}$$

O momento monopolar é:

$$Q = \int \sigma_r(r') dr' = \frac{\sigma_0}{a^2} \int_0^a \int_0^{\pi} \int_0^{2\pi} r'^4 \sin^3 \theta' dr' d\theta' d\phi' = \frac{8\pi a^3 \sigma_0}{15}$$

Quanto aos momentos dipolares relativamente à origem:

$$\vec{P} = \int_{r'} \sigma_r(r') \hat{r}' dr', \text{ com } \begin{cases} \hat{r}' = r' (\sin \theta' \cos \phi' \hat{i} + \sin \theta' \sin \phi' \hat{j} + \cos \theta' \hat{k}) \\ dr' = r'^2 \sin \theta' dr' d\theta' d\phi' \end{cases}$$

As componentes cartesianas de \vec{P} são, assim:

$$P_x = \frac{\sigma_0}{a^2} \int_0^a \int_0^{\pi} \int_0^{2\pi} r'^5 \sin^4 \theta' \cos \phi' dr' d\theta' d\phi' = 0$$

$$P_y = \frac{\sigma_0}{a^2} \int_0^a \int_0^{\pi} \int_0^{2\pi} r'^5 \sin^4 \theta' \sin \phi' dr' d\theta' d\phi' = 0$$

$$P_z = \frac{\sigma_0}{a^2} \int_0^a \int_0^{\pi} \int_0^{2\pi} r'^5 \sin^3 \theta' \cos \theta' dr' d\theta' d\phi' = 0$$

dónde $\vec{P} = 0$.

Dada a simetria axial em torno de z , a determinação do tensor momento quadrupolar Q_{ij} resume-se ao cálculo de Q_{zz} , pois o tensor é diagonal e $Q_{xx} = Q_{yy} = -Q_{zz}/2$.

Assim:

$$\begin{aligned} Q_{zz} &= \int_{r'} (3z'^2 - r'^2) \sigma_r(r') dr' = \frac{\sigma_0}{a^2} \int_0^a \int_0^{\pi} \int_0^{2\pi} r'^6 (3 \cos^2 \theta' - 1) \sin^3 \theta' dr' d\theta' d\phi' = \\ &= \frac{\sigma_0}{a^2} \frac{a^7}{7} \int_0^{\pi} (3 \cos^2 \theta' - 1) \sin^3 \theta' d\theta' = \frac{2\pi \sigma_0 a^5}{7} \int_0^{\pi} (3 \cos^2 \theta' - 1) d\cos \theta' = \\ &= \frac{2\pi \sigma_0 a^5}{7} \int_0^{\pi} (-3 \cos^4 \theta' + 4 \cos^2 \theta' - 1) \sin \theta' d\theta' = -\frac{16}{105} \pi a^5 \sigma_0 \end{aligned}$$

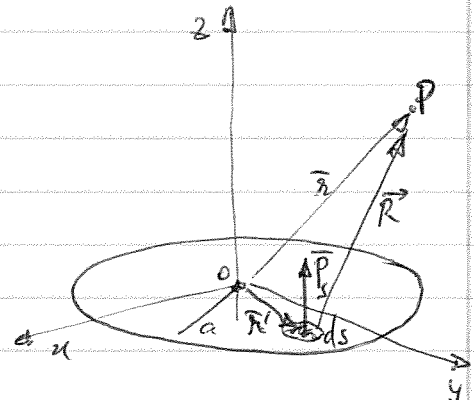
Dónde: $[Q_{ij}] = \frac{8\pi}{105} a^5 \sigma_0 \begin{bmatrix} 1 & 0 & 0 \\ 0 & 1 & 0 \\ 0 & 0 & -2 \end{bmatrix}$

— Disco circular polarizado elettricamente

Um disco circular S de raio a e de pequena espessura contém uma densidade superficial uniforme de dipólos elétricos \vec{P}_s (Cm/m^2), e situa-se no plano Oxy , centrado. Supõe-se $\vec{P}_s = P_s \hat{z}$.

O potencial elétrico num ponto $P(\bar{r})$, na aproximação de dipolo, escreve-se:

$$\phi(\bar{r}) = \frac{1}{4\pi\epsilon_0} \int_S \frac{\vec{P}_s \cdot \vec{R}}{R^2} dS$$



É conveniente introduzir o ângulo sólido elemental $d\Omega$, e o vetor $d\vec{\Omega}$ associado:

$$d\vec{\Omega} = -\hat{z} d\Omega / R^2$$

sendo um ângulo sólido $d\Omega$ definido pelo vértice P e pelo elemento dS , no sentido de $-\hat{z}$. Resulta, assim, o potencial

$$\phi(\bar{r}) = -\frac{1}{4\pi\epsilon_0} \int_S \vec{P}_s \cdot d\vec{\Omega} = -\frac{\vec{P}_s \cdot \vec{\Omega}}{4\pi\epsilon_0}$$

em que $\vec{\Omega}$ é o vetor ângulo sólido definido por P e S . No caso da o ponto P se localizar no eixo zz , e recomenda a uma superfície esférica centrada em P e de raio R (ver figura), vem:

$$d\Omega = \frac{dS}{R^2} = \frac{(2\pi R \sin\beta)(R d\beta)}{R^2} = 2\pi \sin\beta d\beta$$

onde:

$$\Omega = \int_0^\alpha 2\pi \sin\beta d\beta = 2\pi(1 - \cos\alpha)$$

$$\cos\alpha = \frac{z}{\sqrt{z^2 + a^2}}$$

e assim:

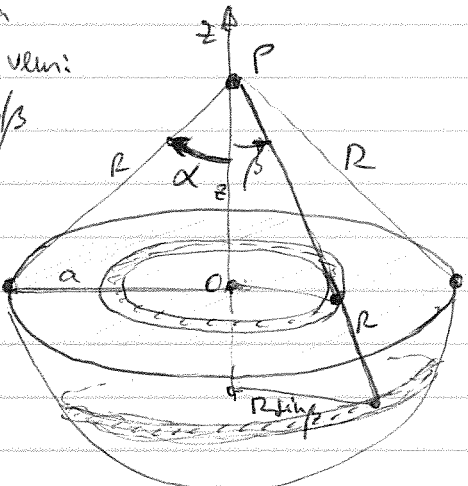
$$\phi(0,0,z) = \pm \frac{P_s}{2\epsilon_0} \left[1 - \frac{|z|}{\sqrt{z^2 + a^2}} \right]$$

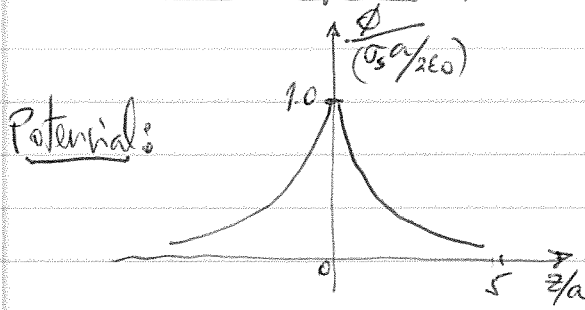
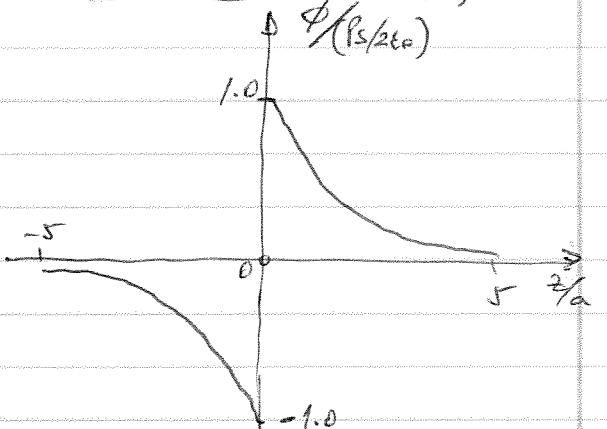
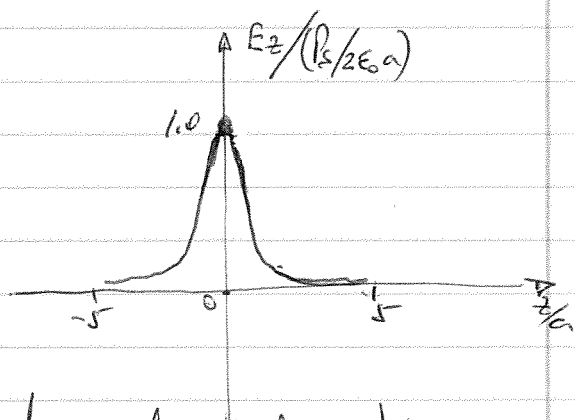
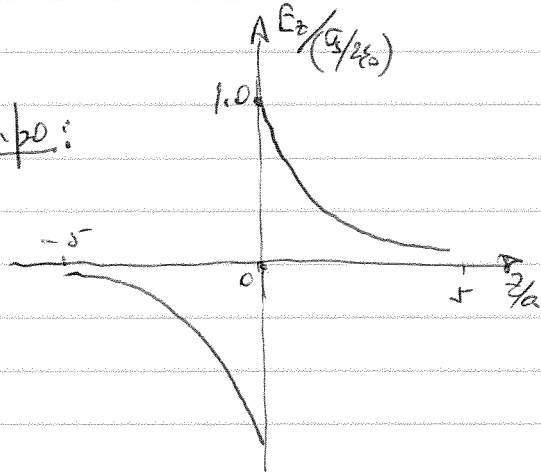
(com os sinais \pm aplicados para $z \geq 0$, respectivamente, em resultado de \vec{P}_s e $\vec{\Omega}$ sarem, também respectivamente, anti-paralelos e paralelos).

O campo elétrico obtém-se de $\vec{E} = -\nabla\phi$, e vale

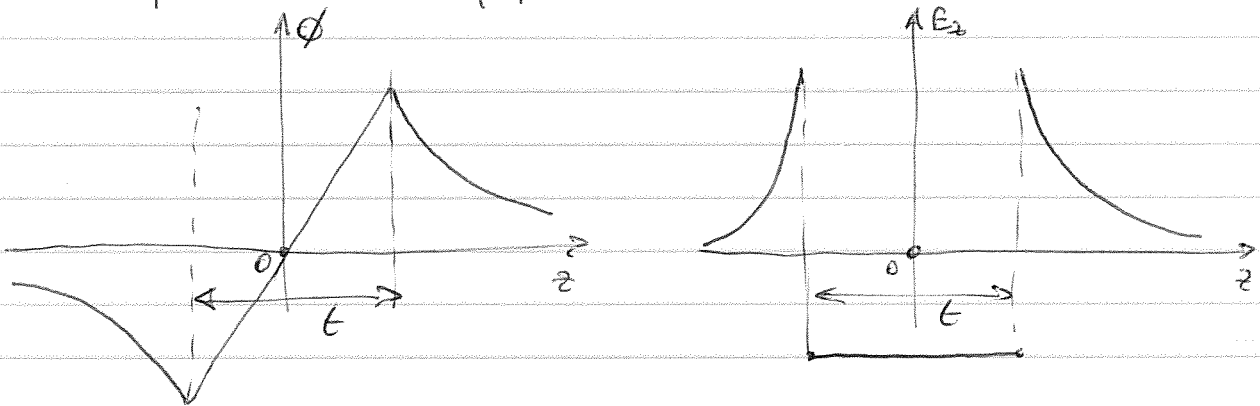
$$\vec{E}(0,0,z) = \frac{P_s}{2\epsilon_0} \left[\frac{a^2}{(z^2 + a^2)^{3/2}} \right] \hat{z}$$

A figura seguinte compara o potencial ϕ e o campo elétrico \vec{E} de um disco circular carregado uniformemente (σ_s) e polarizado uniformemente (\vec{P}_s) à zona perto no eixo zz .



Disco Cargado (\vec{Q}_s)Disco Polarizado (\vec{P}_s)Campo:

A função ϕ obtida para o disco polarizado é discontinua na origem, o que resulta de se ter considerado uma distribuição finita de dipólos idênticos, que não tem existência física. Tomando uma espessura t para o disco polarizado, as funções potencial (ϕ) e campo elétrico (E_z) sarão da forma representada na figura.



No limite $t \rightarrow 0$, mantendo-se a mesma densidade de dipólos, obtém-se o resultado anterior, em que o polarizado não é ultrívoco em $z=0$.